



БИООРГАНИЧЕСКАЯ ХИМИЯ

том 13 * № 1 * 1987

УДК 548.73+577.175.82/85

ТЕОРЕТИЧЕСКОЕ ИССЛЕДОВАНИЕ ПРОСТРАНСТВЕННОЙ СТРУКТУРЫ ПРОСТАГЛАНДИНА Е₂

Симонян С. П., Шендерович М. Д., Фрейманис Я. Ф.

Институт органического синтеза Академии наук ЛатвССР, Рига

Проведен теоретический конформационный анализ молекулы простагландина Е₂(PGE₂) в понарно-аддитивном приближении с фиксированными длинами связей и валентными углами. Получен набор низкоэнергетических конформаций α -цепи и полной молекулы PGE₂. В отличие от PGE₁ для α -цепи PGE₂ предпочтительны полу-свернутые конформации. Показано, что так называемые шпилечные структуры, допускающие пространственное сближение концевых участков α - и ω -цепей, относятся к наиболее низкоэнергетическим конформациям PGE₂. Наличие конформеров простагландинов Е₁ и Е₂ со сходной пространственной организацией объясняет близкий спектр биологических активностей обеих молекул.

Интерес к изучению пространственного строения простагландинов обусловлен прежде всего их высокой физиологической активностью, вызывающей целый спектр различных биологических эффектов как на уровне целого организма, так и в изолированных органах и тканях (см., например, [1]).

Рентгеноструктурные исследования [2–7] показали, что в отличие от практически неактивного простагландина В₁ у биологически активных простагландинов А, Е, F центральные и концевые участки обеих боковых цепей в кристалле располагаются почти параллельно, образуя так называемые шпилечные структуры. На возможность сохранения подобной структуры в растворе указывают данные спектроскопических исследований [8].

Ранее нами были проведены подробные теоретические исследования пространственной структуры PGE₁ и некоторых его аналогов [9–11]. Использованные при этом основные расчетные приближения, в том числе система потенциалов атом-атомных взаимодействий [12], сохранены в настоящей работе, посвященной теоретическому конформационному анализу молекулы PGE₂. Исключением является лишь изменение торсионных потенциалов по углам внутреннего вращения φ_{α_2} и φ_{α_1} (рис. 1), ограничивающим двойную связь.

Геометрия циклопентанового кольца PGE₂ взята из рентгеноструктурных данных [5]. Электростатические взаимодействия учитывали в монополь-монопольном приближении со значением макроскопической диэлектрической постоянной $\epsilon=3,5$, что соответствует неполярному окружению молекулы простагландина.

Для качественного описания конформаций молекулы PGE₂ использованы следующие обозначения ротамеров по углам внутреннего вращения боковых цепей: *t*-ротамеры, близкие к *транс*-конформации, *g⁺*- и *g⁻*-ротамеры, близкие к *гош*-конформации с положительными и отрицательными значениями угла внутреннего вращения. Группы CH и CH₂ молекулы PGE₂ учитывали как единые взаимодействующие центры.

Поиск низкоэнергетических структур PGE₂ проводили минимизацией конформационной энергии из начальных конформаций, представляющих комбинации наиболее вероятных ротамеров отдельных углов внутреннего вращения α - и ω -цепей. Для выбора начальных значений углов φ_{α_1} – φ_{α_2} были использованы результаты исследования локальных стерических условий ω -цепи, полученные при расчете пространственной структуры

Сокращения: PG — простагландин.

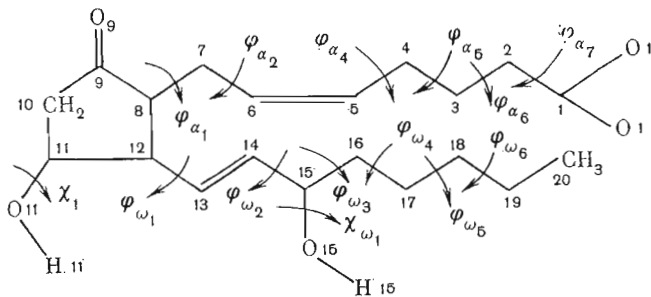


Рис. 1. Структура PGE₂ с обозначениями атомов и углов внутреннего вращения

PGE₁ [11]. В частности, как и в работе [11], в настоящих расчетах варьировали лишь углы φ_{ω_1} – φ_{ω_3} , а начальные значения углов φ_{ω_4} – φ_{ω_6} принимали близкими к 180°.

Предыдущие расчеты показали также, что пространственное расположение α - и ω -цепей мало влияет на конформации гидроксильных групп.

Абсолютный минимум конформационной энергии по углам χ_1 и χ_{15} , во всех случаях примерно соответствует значениям –150°. Указанная величина принята в дальнейшем в качестве начального значения углов χ_1 и χ_{15} для минимизации конформационной энергии. α -цепи обеих молекул обладают определенной конформационной спецификой. У PGE₂ двойная связь C5=C6 фиксирует участок C4–C7 α -цепи в *цикло*-конформации. Напротив, алифатическая цепь PGE₁ избегает подобных конформаций.

Изучение конформационных особенностей PGE₂ начато с рассмотрения локальных стерических условий фрагмента C4–C13, который содержит циклопентановое кольцо и начальный участок α -цепи, включающий двойную связь. Проведены расчеты конформационной энергии этого фрагмента для различных (с шагом 30°) значений углов φ_{α_1} и φ_{α_2} . Двойную связь здесь и далее фиксировали в *цикло*-конформации ($\varphi_{\omega_6}=0^\circ$).

Полученная энергетическая поверхность в сечении по углу φ_{α_1} , определяющему общую ориентацию α -цепи относительно кольца, имеет два локальных минимума, один из которых охватывает широкую область значений $\varphi_{\alpha_1}=90$ –150°; второй, энергетически менее выгодный ($U-U_{\min}>>3$ ккал/моль), соответствует $\varphi_{\alpha_1}\approx -60^\circ$. Типичное сечение энергетической поверхности фрагмента C4–C13 по углу φ_{α_1} представлено на рис. 2. Оптимальные значения $\varphi_{\alpha_1}=\pm 120^\circ$.

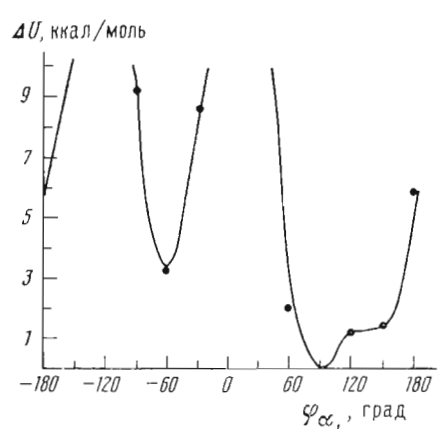


Рис. 2. Типичное сечение энергетической поверхности фрагмента C4–C13 по углу φ_{α_1}

для этого фермента энергетически почти равноправны.

Отбор низкоэнергетических структур с учетом описанных выше локальных стерических условий начального участка α -цепи молекулы PGE₂ проводили в несколько этапов. Вначале варьировали конформации α -цепи при одной конформации ω -цепи, затем уточняли конформационную энергию отдельных структур при различных вариантах ω -цепи.

Для углов внутреннего вращения φ_{α_1} – φ_{α_6} концевого участка α -цепи рассматривали три начальные конформации (60, 180, –60°). Вращение карбоксильной группы вокруг связи C1–C2 не сопровождается значительными изменениями конформационной энергии. Как и в молекуле PGE₁, оптимальным является перпендикулярное расположение плоскостей C1–C2–C3 и карбоксильной группы ($\varphi_{\omega_6}=90^\circ$).

Наиболее низкоэнергетические конформации α -цепи РГЕ₂

Параметры	Конформации									
	1	2	3	4	5	6	7	8	9	10
Углы внутреннего вращения φ_{α} , α -цепи, град	101	100	136	99	124	105	99	112	117	107
φ_{α_2}	115	105	131	106	126	132	103	113	107	101
φ_{α_4}	-128	-127	-121	-130	-423	-124	-135	-424	123	124
φ_{α_5}	182	176	187	87	-90	110	95	-92	180	171
φ_{α_6}	177	75	-76	179	185	77	-86	-78	78	-81
φ_{α_7}	85	84	79	93	101	90	101	89	88	84
расстояние Å	C1-C20	4,7	4,6	5,9	5,7	4,5	5,4	7,6	4,8	4,4
O1-O9	10,2	9,2	8,8	8,9	9,7	7,8	6,7	10,4	8,0	10,4
O1-O11	10,6	9,4	7,5	8,5	9,7	7,3	7,6	10,1	7,5	10,8
O1-O15	7,5	6,5	5,4	5,6	6,4	5,4	7,1	6,9	5,4	7,8
Энергия конформации, ккал/моль, ΔU	0	2,0	2,7	2,4	2,7	4,9	3,4	4,4	2,4	2,0
5*										

Таблица 2

Описание набора низкоэнергетических структур молекулы PGE₂

Конформеры α -цепи				Тип ω -цепи			Углы ω -цепи, град			ΔE , ккал/моль	Расстояние, Å	
α_2	α_4	α_5	α_6				ω_1	ω_2	ω_3		C1—C20	O1—O15
g^+	g^-	g^+	g^+	g^+	t	t	89	-144	164	4,9	5,4	5,4
		g^+	t				121	-122	161	2,4	5,7	5,6
		g^+	g^-				125	-125	162	3,4	7,6	7,1
		t	g^+				110	-134	165	2,0	4,6	6,5
		t	g^-				98	-143	159	2,7	5,9	5,4
		t	t				110	-132	167	0,0	4,7	7,5
		g^-	t				110	-142	163	2,7	4,5	6,4
		g^-	g^-				110	-137	162	4,4	4,8	6,9
g^+	g^+	g^+	g^+	g^+	t	t	114	-129	163	4,7	4,4	6,2
		g^+	t				112	-127	155	4,0	4,3	7,9
		t	g^+				110	-132	158	2,4	5,6	5,4
		t	g^-				113	-133	164	2,0	4,4	7,8
g^-	g^+	t	t	t	t	t	116	-133	166	5,0	14,9	5,7
		t	t				89	-154	84	1,8	6,9	5,8
		t	g^-				135	-118	88	4,3	5,2	5,3
		t	g^+				135	-112	85	4,8	6,3	8,2
g^+	g^+	g^-	t	g^+	t	g^+	139	-111	83	5,0	4,4	10,7
		g^+	t				109	-139	93	4,9	4,5	9,4
		t	g^+				118	-133	98	2,9	4,8	5,9
		t	g^-				124	-122	91	2,3	3,9	6,2
g^+	g^-	g^-	t	t	g^-	g^+	107	-139	89	4,7	4,5	9,9
		g^-	g^-				110	-135	92	4,7	4,3	4,4
		t	t				120	-130	99	1,7	4,3	9,8
		t	t				-50	-120	86	3,6	9,3	4,6
g^+	g^-	t	g^-	t	g^+	t	-57	-123	87	4,8	9,2	2,9
		t	g^-				-49	-120	166	2,0	8,0	4,6
		t	g^-				-56	-121	166	3,4	8,4	2,9

Результаты расчетов — найденные наборы низкоэнергетических структур PGE₂ — подробно описаны в табл. 1 и 2 (относительная конформационная энергия ΔU для этих структур не превышает 5 ккал/моль). Полученные данные сопоставлены с расчетным набором низкоэнергетических структур молекулы PGE₁ (работа [11], табл. 1, 2 и 4).

Как и следовало ожидать, основные различия в пространственной структуре PGE₁ и PGE₂ относятся к конформационной подвижности α -цепей. Так, два четко различных в PGE₁ локальных энергетических минимума по углу φ_{α_2} ($\varphi_{\alpha_2} \sim 80$ и 150°) в молекуле PGE₂ сливаются в широкую низкоэнергетическую область в окрестности $\varphi_{\alpha_2}=90-140^\circ$. В молекуле PGE₁ значения φ_{α_2} соответствуют структурам с транс-конформациями по углам $\varphi_{\alpha_3}-\varphi_{\alpha_4}$, характеризующимися значительной удаленностью карбоксильной группы от кольца, а при $\varphi_{\alpha_2} \sim 80^\circ$ энергетически предпочтительной оказывается конформация с изогнутой α -цепелью и сближенной с кольцом до расстояния ~ 5 Å карбоксильной группой. У молекулы PGE₂ энергетически предпочтительными оказались значения φ_{α_2} , близкие к 120° . Второй разрешенный во фрагменте C4—C13 конформер со значением этого угла -120° в полной молекуле PGE₂ оказывается энергетически невыгодным, по-видимому, вследствие чрезмерного сближения α - и ω -цепей. Низкоэнергетические структуры PGE₁ допускают различные варианты пространственной ориентации среднего участка α -цепи ($\varphi_{\alpha_3}-\varphi_{\alpha_4}$). Конформационным перестройкам α -цепи PGE₂ препятствует двойная связь C5=C6, ограничивающая вращение вокруг связи C4—C5. Большинство предпочтительных конформеров PGE₂ вследствие планарности двойной связи имеют значение угла φ_{α_2} , близкое к 120° .

Сравнительная оценка конформационных возможностей α -цепей PGE₁ и PGE₂ может быть проведена путем сопоставления ориентации карбоксильной группы относительно других функциональных групп в стабильных конформерах обеих молекул. В табл. 1 приведены расстояния между одним из кислородов карбоксильной группы (O1) и кислородными атомами кольца (O9, O11) и гидроксила ω -цепи (O15) для наиболее низко-

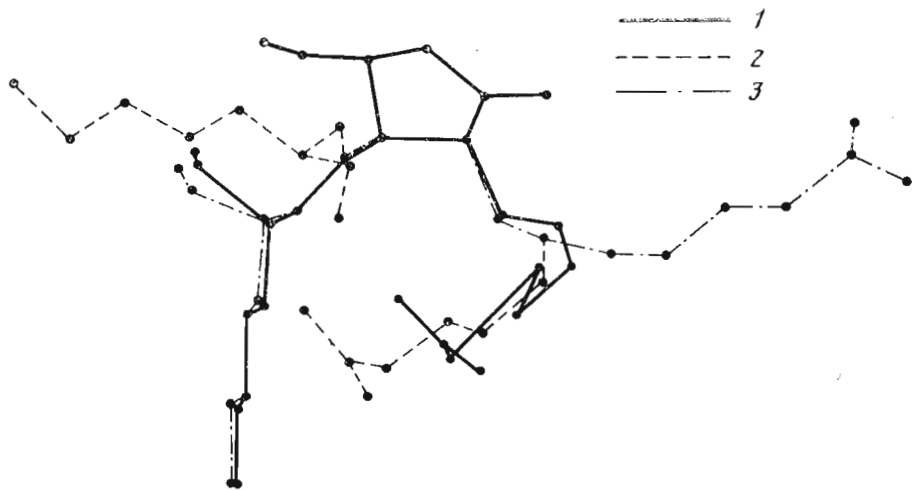


Рис. 3. Сопоставление расчетных конформаций PGE₂ с энергиями (ΔU) 0 (1), 2 (2), 5 ккал/моль (3). Вид молекулы дан в ориентации, подобной рис. 1

энергетических конформеров PGE₂. Аналогичные данные для PGE₁ приведены в табл. 1 работы [11]. В молекуле PGE₁ четко различались две группы конформеров α -цепи: вытянутые — с максимальным удалением карбоксильной группы от кольца (расстояния O1—O9 и O1—O11 порядка 10 Å и выше) и изогнутые конформеры, в которых кислородные атомы карбоксильной группы и кольца сближены на расстояния ~5 Å. Низкоэнергетические конформеры PGE₂ обеспечивают более равномерное распределение расстояний O1—O9, O1—O11. С другой стороны, расстояния между карбоксильной группой и гидроксилом ω -цепи в большинстве структур PGE₂ (см. также табл. 2) ближе к соответствующим расстояниям, характерным для свернутых конформеров α -цепи PGE₂.

Таким образом, наличие двойной связи C5=C6 препятствует, по-видимому, как максимальному сближению карбоксильной группы с циклопентапольным кольцом, так и полному распрямлению α -цепи и приводит к стабилизации полусвернутых ее конформаций.

В предыдущей работе [11] показано, что многие низкоэнергетические структуры PGE₁ относятся к классу шпилечных конформаций, характеризующихся относительно вытянутой α -цепью (расстояние C1—C20 не превышает 6 Å). Большинство низкоэнергетических конформаций PGE₂ (табл. 2) удовлетворяет указанным критериям и также может быть отнесено к шпилечным конформациям. Лишь энергетически менее выгодный конформер g^+ по углу φ_{α} приводит к значительному удалению концов боковых цепей, а конформеры g^- по углу φ_{ω} стабилизируются за счет электростатических взаимодействий карбоксильной группы и гидроксила в положении 15, сближение которых достигается существенно непараллельным расположением α - и ω -цепей. Некоторые наиболее характерные конформации PGE₂ сопоставляются на рис. 3.

Шпилечные конформации, по предположению ряда исследователей, необходимы для проявления биологической активности простагландинов [13]. Как показывают результаты теоретического конформационного анализа, молекулы PGE₁ и PGE₂ могут принимать подобные конформации без существенных стерических напряжений. Более того, шпилечные конформации обеспечивают сходные очертания ван-дер-ваальсовых поверхностей и аналогичное пространственное расположение основных функциональных групп обеих молекул, обладающих весьма сходным биологическим действием. Некоторые количественные различия отдельных физиологических реакций на PGE₁ и PGE₂ могут быть следствием различной конформационной подвижности их α -цепей.

ЛИТЕРАТУРА

1. Vapaatalo H., Parantainen J. Med. Biol., 1978, v. 56, p. 163–183.
2. DeTitta G. T., Edmonds J. W., Duax W. L. Prostaglandins, 1975, v. 9, № 5, p. 659–665.
3. Spek A. L. Acta cryst., 1977, v. 33, p. 816–824.
4. Edmonds J. W., Duax W. L. Prostaglandins, 1974, v. 5, p. 275–281.
5. DeTitta G. T., Langs D. A., Edmonds J. W., Duax W. L. Acta cryst., 1980, v. 36, p. 638–645.
6. Langs D. A., Erman M., DeTitta G. T. Science, 1977, v. 197, p. 1003–1005.
7. DeTitta G. T. Science, 1976, v. 191, p. 1271, 1272.
8. Leovey E. M. K., Andersen N. H. Prostaglandins, 1975, v. 10, p. 789–794.
9. Юрель (Симонян) С. П., Шендерович М. Д., Фрейманис Я. Ф. Биоорган. химия, 1981, т. 7, № 9, с. 1429–1432.
10. Фрейманис Я. Ф., Юрель С. П., Лиепиньш Э. Э., Шендерович М. Д. В кн.: XII Менделеевский съезд по общей и прикладной химии. Тез. докл. М., 1981, с. 156, 157.
11. Шендерович М. Д., Симонян С. П., Фрейманис Я. Ф. В кн.: Конформации и функции биологических молекул. Рига: Зинатне, 1984, с. 160–174.
12. Nikiforovich G. V., Lenova V. I., Galaktionov S. G., Chipens G. I. Int. J. Peptide and Protein Res., 1979, v. 13, p. 363–373.
13. Andersen N. H., Imamoto S., Subramanian N. et al. Prostaglandins, 1981, v. 22, № 5, p. 841–856.

Поступила в редакцию
3.IV.1986

THEORETICAL CALCULATION OF CONFORMATION OF PROSTAGLANDIN E₂

SIMONJAN S. P., SHENDEROVICH M. D., FREIMANIS J. F.

*Institute of Organic Synthesis, Academy of Sciences of the
Latvian SSR, Riga*

The theoretical conformational analysis of PGE₂ has been performed using semiempirical approach and fixed values of the bond length and valence angles. A set of low-energy conformations was obtained for the α -chain and the whole PGE₂ molecule. Unlike the PGE₁ molecule, PGE₂ α -chain prefers semifolded conformations. The hairpin structures with the parallel orientation of α - and ω -chains are the lowest-energy conformations of PGE₂ conformations of PGE₁ and PGE₂. Sterically similar explain the similar biological activity of the two molecules.